

## ТОЧКИ БИФУРКАЦИИ ВРАЩАЮЩИХСЯ НАМАГНИЧЕННЫХ НЬУТОНОВСКИХ ПОЛИТРОП С ПОКАЗАТЕЛЕМ, БЛИЗКИМ К ЕДИНИЦЕ

*С. А. Михеев, В. П. Цветков*

Тверской государственный университет, Тверь, Россия

Впервые доказано существование точек бифуркации ньютоновских вращающихся политроп в интервале значений показателя политропы  $0,9989 < n \leq 1,0795$ , в которых ответвляются асимметричные относительно оси вращения решения, описывающие распределение плотности. Показано, что в этом интервале значений  $n$  параметр быстроты вращения в критических точках  $\varepsilon_k$  принимает значения  $0,0442 > \varepsilon_k \geq 0$ .

This investigation has proved for the first time that there are bifurcations of Newtonian rotating polytropic curves over the range of the polytropic coefficient  $0.9989 < n \leq 1.0795$ , where the solutions asymmetric with respect to the rotation axis, which describe a density distribution, are derived. It has been shown that within this interval, the  $n$  parameter of the rotation rapidity takes the values  $0.0442 > \varepsilon_k \geq 0$  in critical points  $\varepsilon_k$ .

PACS: 97.10.Kc

### ВВЕДЕНИЕ

Конфигурация однородной несжимаемой вращающейся гравитирующей жидкости зависит от одного параметра, определяющего быстроту вращения  $\varepsilon = \frac{\omega^2}{4\pi G \rho_0}$  ( $\omega$  — угловая скорость вращения конфигурации,  $G$  — гравитационная постоянная,  $\rho_0$  — плотность конфигурации), и точные аналитические решения известны только для эллипсоидальных фигур равновесия [1–3].

Конфигурация сжимаемой вращающейся гравитирующей жидкости уже зависит не только от параметра  $\varepsilon$ , но и от параметров уравнения состояния гравитирующей материи. Задача об ответвлении асимметричных относительно оси вращения решений уравнения, описывающего вращающиеся гравитирующие конфигурации, при этом существенно усложняется. Возможности найти точные аналитические решения в этом случае нет. Дать ответ о существовании точек бифуркации можно только приближенными методами, и оценку точности вычислений провести достаточно сложно. Поэтому вопрос о точках бифуркации в данном случае открыт.

Порядок асимметрии распределения вещества относительно оси вращения конфигурации удобно определять параметром  $X$ . Для несжимаемой гравитирующей вращающейся жидкости  $X$  зависит только от параметра быстроты вращения  $\varepsilon$ ,  $X = X(\varepsilon)$ .

Для намагниченных же конфигураций интенсивность влияния магнитного поля на параметр асимметрии  $X$  определяется величиной  $\eta_m = \frac{B_0^2 \sin^2 \alpha}{8\pi^2 G \rho_0^2 a_1^2}$  ( $B_0$  — характерное значение магнитной индукции в центре конфигурации,  $a_1, a_3$  — длины большой и малой полуосей эллипсоида вращения, аппроксимирующего реальную поверхность конфигурации,  $\alpha$  — угол наклона магнитной оси к оси вращения). Физически это отношение плотностей магнитной и гравитационной энергии в центре конфигурации. Асимметрия  $X$  в этом случае будет зависеть уже от двух параметров  $\varepsilon$  и  $\eta_m$ .

Впервые уравнение для параметра  $X$  в случае намагниченных вращающихся однородных конфигураций получено в [4], где показана важная роль параметра  $\eta_m$  вблизи точек бифуркации в этом уравнении, представляющем кубическую по  $X$  параболу.

Намного усложняется ситуация по исследованию поведения параметра асимметрии  $X$  для сжимаемых гравитирующих вращающихся намагниченных конфигураций. Параметр  $X$  уже зависит от  $\varepsilon, \eta_m$  и параметров уравнения состояния  $P = P(\rho)$ , описывающего зависимость давления от плотности. В самом простом случае политропы с индексом  $n$   $X = X(\varepsilon, \eta_m, n)$ .

Наиболее известны работы Джинса [5] и Джеймса [6] по исследованию точек бифуркации вращающихся ньютоновских гравитирующих политроп при  $\eta_m = 0$ . В них проведены оценки максимального значения индекса политропы  $n_k$ , выше которого точек бифуркации нет,  $n < n_k$ . Джинс дает оценку  $n_k = 0,83$ , а Джеймс —  $n_k = 0,808$ . Физической причиной этого в работах [5,6] названо истечение вещества с экватора конфигурации, возникающего при той степени сплюснутости конфигурации, которая необходима для достижения точки бифуркации. Ускорение свободного падения на экваторе  $g_e$  будет равно нулю. При большем значении быстроты вращения  $g_e$  становится отрицательным, с экватора конфигурации возникает истечение вещества и стационарная конфигурация невозможна. Такой подход восходит к работе Джинса [5].

Аналитического исследования политропных конфигураций вблизи точек бифуркации в этих работах не проводилось, так как при этом нужно проводить вычисления до членов порядка  $X^3$ . Исследования проводились на основании лишь линейного приближения.

Необходимо отметить, что в работе Джеймса [6] сделано много приближений и предположений, и, на наш взгляд, точность ее результатов автором сильно завышена. Особенно это касается вычисления  $g_e$ , так как эта величина вычисляется на границе конфигурации, а используемые в работе биномиальные степенные ряды вблизи границы сходятся очень медленно. После операции дифференцирования, необходимой для вычисления  $g_e$ , точность оценок  $g_e$  уже существенно уменьшается. Пренебрегается влиянием границы конфигурации на решение уравнений конфигурации. Достаточно грубым приближением для оценки осесимметричных членов в уравнениях вращающейся гравитирующей политропы является сделанное в [6] предположение о доминировании в них второй гармоники.

Уравнение гравитирующей вращающейся конфигурации существенно нелинейно зависит от показателя политропы  $n$ , и утверждение об отсутствии точек бифуркации при  $n > n_k$  по крайней мере безосновательно.

Цель нашей работы — показать, вопреки имеющемуся мнению [3,6], существование точек бифуркации ньютоновских гравитирующих вращающихся политроп со значениями показателя, незначительно превышающими единицу.

В этой области параметр сплюснутости  $e = a_3/a_1$  в точках бифуркации уже достаточно близок к единице, а параметр быстроты вращения  $\varepsilon$  может принимать сколь угодно малые значения. При этом значения  $g_e$  с большим запасом становятся отличными от нуля и положительными, что гарантирует стабильность конфигурации.

Этот эффект может значительно влиять на эволюцию угловой скорости медленных пульсаров ( $\varepsilon$  меньше или порядка  $10^{-4}$ ) с уравнением состояния, близким к политропе с показателем  $1 < n < 1,08$ . Из реалистических уравнений состояния к ним наиболее близко уравнение состояния ядерной материи Рейда.

Рассматриваемая задача очень важна для астрофизических приложений. Вращающаяся намагниченная ньютоновская политропа, если пренебрегать релятивистскими эффектами порядка 20 %, может служить хорошей моделью пульсаров, описывающей их основные свойства. Величина параметра асимметрии  $X$  определяет интенсивность гравитационного излучения пульсаров [4], поиски которого активно ведутся в настоящее время [7]. Вблизи точек бифуркации значения параметра  $X$  и, следовательно, интенсивность гравитационного излучения возрастают на много порядков [4], что существенно сказывается на эволюции периода  $T$ . Величина производной периода пульсара  $\dot{T}$  в настоящее время у ряда пульсаров измеряется с точностью порядка  $10^{-20}$  и по ней можно судить о вкладе гравитационного излучения, пропорционального значению  $X^2$ , в эволюцию периода.

### 1. ОСНОВНОЕ УРАВНЕНИЕ И ПОСТАНОВКА ЗАДАЧИ

В основу развиваемой нами математической модели вращающихся намагниченных политроп положим, как и в [8], уравнение

$$\frac{1}{2\pi a_1^2} \int_D \tilde{\rho}(\mathbf{r}') \left( \frac{1}{r'} - \frac{1}{|\mathbf{r} - \mathbf{r}'|} \right) dV' - K_0 \int_{p(\mathbf{r})}^1 \frac{dp}{\tilde{\rho}(p)} - \varepsilon \frac{\mathbf{r}_\perp^2}{a_1^2} = \Pi_{(m)}(\mathbf{r}), \quad (1)$$

где  $\Pi_{(m)}$  — вклад магнитных натяжений;  $\tilde{\rho} = \rho/\rho_0$ ;  $\rho$  — плотность конфигурации;  $\rho_0$  — плотность в центре конфигурации;  $a_1, a_3$  — полуоси сфероида, аппроксимирующего поверхность конфигурации;  $p = P/P_0$  — отношение давления к центральному значению давления;  $K_0 = \frac{P_0}{2\pi G \rho_0^2 a_1^2}$ ;  $\mathbf{r}_\perp = x_1 \mathbf{e}_1 + x_2 \mathbf{e}_2$ ;  $x_1 = x/a_1$ ;  $x_2 = y/a_1$ ;  $x_3 = z/a_3$ ;  $D$  — область  $R^3$ , в которой  $\tilde{\rho} \geq 0$ .

Параметр  $K_0$  является важной характеристикой конфигурации и по порядку величины равен отношению давления к плотности гравитационной энергии в ее центре.

Уравнение (1) при  $\Pi_{(m)} = 0$  в литературе [9] часто называют уравнением Ляпунова, который получил выдающиеся результаты при его исследовании.

Уравнение (1) представляет собой интегральное уравнение с подвижной границей в  $R^3$ . Эту границу  $\delta D$  будем искать в виде возмущенной эллипсоидальной поверхности [8]:

$$\delta D : \quad x_1^2 + x_2^2 + x_3^2 + \sum_{i,j,k}^L Z_{ijk} x_1^i x_2^j x_3^k = 1. \quad (2)$$

Полуоси аппроксимирующего сфероида  $a_1$ ,  $a_3$  и коэффициенты  $Z_{ijk}$  находятся из условия минимизации функционала [8]

$$\Lambda = \frac{1}{4\pi} \int_{\delta D} \tilde{\rho}^2 d\Omega, \quad (3)$$

что приводит к системе уравнений

$$\frac{\partial \Lambda}{\partial Z_{ijk}} = 0, \quad a_1 \frac{\partial \Lambda}{\partial a_1} = 0, \quad a_3 \frac{\partial \Lambda}{\partial a_3} = 0. \quad (4)$$

Система уравнений (1), (4) представляет собой замкнутую систему для нахождения  $a_1$ ,  $a_3$ ,  $Z_{ijk}$ ,  $\tilde{\rho}$ .

Представим плотность конфигурации  $\tilde{\rho}$  в виде полинома степени  $P$

$$\tilde{\rho} = \sum_{a,b,c} \rho_{abc} x_1^a x_2^b x_3^c. \quad (5)$$

Если выбрать  $P$  достаточно большим, то с любой степенью точности согласно теореме Стоуна–Вейерштрасса выражение (5) аппроксимирует плотность реальной конфигурации.

Коэффициенты  $\rho_{abc}$  и  $Z_{ijk}$ , определяющие структуру конфигурации, разобьем на симметричные  $\rho_{(ab)c}$ ,  $Z_{(ij)k}$  и антисимметричные  $\rho_{[ab]c}$ ,  $Z_{[ij]k}$  части относительно оси вращения и будем искать в виде разложения по малому параметру асимметрии  $X$ , подлежащему в дальнейшем определению:

$$\begin{aligned} \rho_{abc} &= \frac{\left(\frac{a+b}{2}\right)!}{\left(\frac{a}{2}\right)! \left(\frac{b}{2}\right)!} \rho_{a+b,c} + \rho_{[ab]c} X + \rho_{1(ab)c} X^2, \\ Z_{ijk} &= \frac{\left(\frac{i+j}{2}\right)!}{\left(\frac{i}{2}\right)! \left(\frac{j}{2}\right)!} Z_{i+j,k} + Z_{[ij]k} X + Z_{1(ij)k} X^2. \end{aligned} \quad (6)$$

Здесь и далее  $a, b, c$  и  $i, j, k$  являются четными, а вводимые вновь величины удовлетворяют соотношениям симметрии  $\rho_{1(ab)c} = \rho_{1(ba)c}$ ,  $\rho_{[ab]c} = -\rho_{[ba]c}$ ,  $Z_{1(ij)k} = Z_{1(ji)k}$ ,  $Z_{[ij]k} = -Z_{[ji]k}$ , а  $\rho_{[20]0}$  нормируем на единицу.

Для имеющихся к настоящему времени оценок магнитного поля пульсаров по замедлению периода имеет место оценка  $B_0 \sim 10^{10} - 10^{12}$  Гс. В этом случае  $|\Pi_{(m)}| \sim 10^{-12} - 10^{-9}$  при  $\rho_0 = 4 \cdot 10^{14}$  г/см<sup>3</sup>. Поэтому имеет смысл учитывать  $\Pi_{(m)}$  только при нахождении асимметричных коэффициентов  $\rho_{[ab]c}$ ,  $Z_{[ij]k}$ .

Аналитическое выражение  $\Pi_{(m)}$  выберем в самом простом виде:

$$\Pi_{(m)} = \frac{k}{2} \eta_m (x_1^2 - x_2^2), \quad (7)$$

где  $k$  — показатель скорости убывания магнитного поля при удалении от магнитной оси. Для определенности положим  $k = 2$ .

Для решения уравнения (1) мы должны знать конкретный вид уравнения состояния  $P = P(\rho)$ . В нашем случае оно предположительно имеет вид политропы с показателем  $n$ , близким к единице,  $|n - 1| \ll 1$ . Именно для этих значений  $n$  у нас имеют место наиболее интересные результаты по исследованию точек бифуркации ньютоновских вращающихся политроп.

В случае политропы имеем

$$\int_p^1 \frac{dp}{\tilde{\rho}} = (1 + n)\tilde{\rho}^{\frac{1}{n}}. \quad (8)$$

Аппроксимируем правую часть (8) многочленом второй степени:

$$(1 + n)\tilde{\rho}^{\frac{1}{n}} \cong \delta_0 + \delta_1(\tilde{\rho} - 1) + \delta_2(\tilde{\rho} - 1)^2. \quad (9)$$

Коэффициенты  $\delta_0$ ,  $\delta_1$ ,  $\delta_2$  находятся минимизацией уклонения правой и левой частей (9) в метрике  $L_2$ . При этом

$$\begin{aligned} \delta_0 &= \frac{4n(n+1)(n+2)}{(2n+1)(3n+1)}, \\ \delta_1 &= -\frac{4n(n+1)(4n-7)}{(2n+1)(3n+1)}, \\ \delta_2 &= -\frac{20n(n^2-1)}{(2n+1)(3n+1)}. \end{aligned} \quad (10)$$

Погрешность аппроксимации  $n = 1,04$  составила  $4 \cdot 10^{-3}$ . Положим  $h = n - 1$  и в случае  $|h| \ll 1$  из (10) имеем  $\delta_0 \cong \delta_1 \cong 2$ ,  $\delta_2 \cong \frac{10}{3}h$ . Отсюда следует возможность качественного изменения характера решения уравнения (1) справа и слева от точки  $n = 1$ , так как знак квадратичной по  $\tilde{\rho} - 1$  части в (9) при этом изменяется, коэффициент при  $h$  в  $\delta_2$  будет больше  $10/3$ .

Представление (9) можно использовать и для реалистических уравнений состояния, учитывающих наличие сильных взаимодействий между нуклонами в нейтронных звездах, выбрав соответствующим образом коэффициенты  $\delta_0$ ,  $\delta_1$ ,  $\delta_2$ .

## 2. КРИТЕРИЙ ДЛЯ ТОЧЕК БИФУРКАЦИИ

В нашей работе [8] создан комплекс символьно-численных программ, использование которого для решения (1), (4) позволяет свести задачу вычисления основного параметра  $X$  к решению кубического уравнения для  $X$ :

$$A(e, n)X + B(e, n)X^3 = \eta_m, \quad (11)$$

где  $e = a_3/a_1$ , и этот параметр является основной характеристикой сплюснутости поверхности конфигурации вдоль оси вращения и, также как  $\varepsilon$ , характеризует степень быстроты

вращения. У нас  $e$  является свободным параметром, а  $\varepsilon$  вычисляем:  $\varepsilon = \varepsilon(e)$ . В работе Джеймса [6], наоборот, значения  $\varepsilon$  задаются.

Кубический член в (11) существенен вблизи кривой  $A(e, n) = 0$ , которая определяет множество точек бифуркации  $e_k = e_k(n)$  и ее можно назвать уже бифуркационной кривой. Поэтому  $B(e, n)$  нам нужно знать лишь в точках  $e_k(n)$ , т. е.  $B_k(n) = B(e_k(n), n)$ , что значительно упрощает вычисления.

Решение уравнения (11), переходящее при  $\eta_m = 0$  в симметричное решение  $X = 0$ , может быть представлено с помощью функции  $f_M(\lambda) = (108 + 12\sqrt{-12\lambda^3 + 81})^{1/3}$ , найденной нами в системе символьной математики MAPLE, в виде

$$X(\lambda) = \left( \frac{1}{6} f_M(\lambda) + 2\lambda f_M^{-1}(\lambda) \right) X_k, \quad (11a)$$

$$\lambda = -\frac{A(e, n)}{B_k(n)X_k^2}, \quad X_k = \left( \frac{\eta_m}{B_k(n)} \right)^{1/3}.$$

Вблизи точки бифуркации коэффициент  $A(e, n)$  по определению является малым параметром, по степеням которого можно представить разложение решения (11a). В линейном по  $A(e, n)$  приближении имеем

$$X = X_k \left( 1 - \frac{1}{3} \frac{A(e, n)}{B_k(n)X_k^2} \right). \quad (11b)$$

Отметим, что выражение (11b) справедливо только при  $|A(e, n)| \ll \eta_m^{2/3}$ .

Как нами уже отмечено, во всех случаях (за исключением  $\rho = \rho_0 = \text{const}$ ) задача о гравитирующих конфигурациях решается приближенно. Проверить выполнение условия гидростатического равновесия во всех точках гравитирующей конфигурации невозможно. Поэтому Джинс [5] ввел условие стабильности конфигурации как неотрицательность радиальной компоненты ускорения свободного падения на экваторе  $g_e > 0$ . В плоскости экватора имеем

$$g(r, x_3 = 0) = \frac{\partial \Phi(r, x_3 = 0)}{\partial r} - 2\varepsilon r > 0, \quad (12)$$

где  $r = \sqrt{x_1^2 + x_2^2}$ ,  $\Phi = -\frac{1}{2\pi a_1^2} \int_D \frac{\tilde{\rho}(\mathbf{r}')}{|\mathbf{r} - \mathbf{r}'|} dV'$ .

На экваторе  $r = r_e$ ,  $\tilde{\rho}(r_e, x_3 = 0) = 0$ . Тогда

$$g_e = g(r_e, x_3 = 0) = \frac{\partial \Phi(r_e, x_3 = 0)}{\partial r_e} - 2\varepsilon r_e.$$

Функция  $\Phi(r, x_3 = 0)$  определяется нами внутри аппроксимирующего эллипсоида, вне его мы будем использовать ее аналитическое продолжение. При этом пренебрежение гравитационным влиянием масс за пределами аппроксимирующего эллипсоида дает погрешность  $\sqrt{\Lambda}(r_e - 1)$ .

Из вышеизложенного следует критерий для точек бифуркации равновесных конфигураций:

$$A(e_k, n) = 0, \quad g_e(e_k, n) > 0. \quad (13)$$

### 3. ОБСУЖДЕНИЕ ЧИСЛЕННЫХ РЕЗУЛЬТАТОВ

Дальнейшей нашей основной задачей будет тщательное исследование условий (13) для значений показателя политропы  $n$ , близких к единице.

Проведенные нами символично-численные вычисления функции  $A(e, n)$  представлены на рис. 1, 2.

Из рис. 1 видно, что семейство кривых  $A(e, n = \text{const})$ ,  $1 \leq n \leq 1,0795$ , пересекает ось абсцисс в интервале значений  $0,575 \leq e \leq 1$  и определяет множество точек бифуркации по параметру  $e$ , в которых  $A(e_k, n) = 0$ .

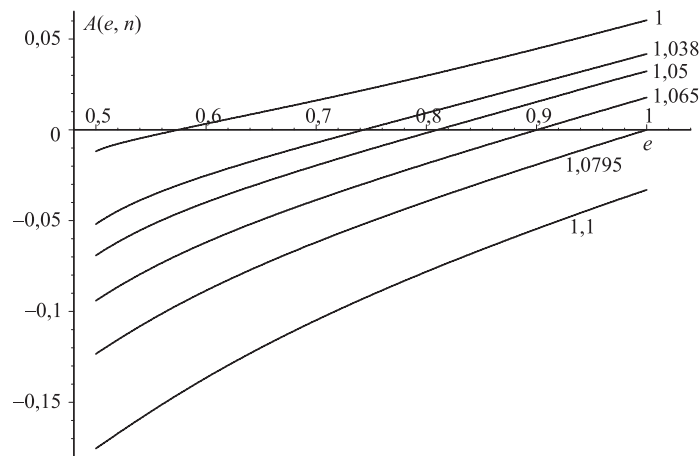


Рис. 1. Зависимость функции  $A(e, n)$  от параметра  $e$  при фиксированных значениях показателя политропы  $n$

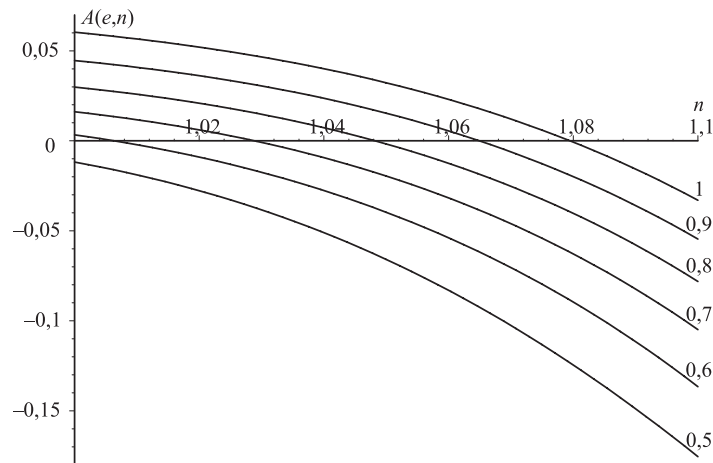


Рис. 2. Зависимость функции  $A(e, n)$  от показателя политропы  $n$  при фиксированных значениях параметра  $e$

Из рис. 2 следует, что семейство кривых  $A(e = \text{const}, n)$ ,  $0,575 \leq e \leq 1$ , пересекает ось абсцисс в интервале значений  $n$   $1 \leq n \leq 1,0795$  и определяет множество точек бифуркации по параметру  $n$ , в которых  $A(e_k, n(e_k)) = 0$ .

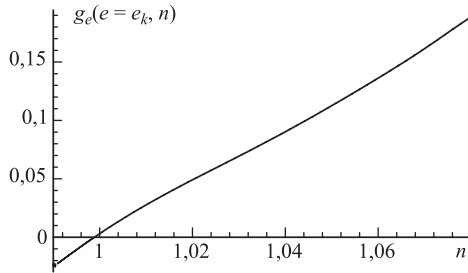


Рис. 3. Зависимость функции  $g_e(e = e_k)$  от показателя политропы  $n$

Зависимость  $g_e(e_k, n)$  в диапазоне значений  $n$   $0,99 \leq n \leq 1,0795$  приводится на рис. 3, из которого следует, что  $g_e(e_k, n = 0,9989) = 0$ ,  $g_e(e_k, n = 1) = 3,07 \cdot 10^{-3}$ ,  $g_e(e_k, n = 1,0795) = 0,187$ .

Из проведенных нами оценок видно, что точки бифуркации существуют в интервале значений показателя политропы  $0,9989 < n \leq 1,0795$ , для которых  $A(e_k, n) = 0$  и  $g_e(e_k, n) > 0$ .

Оцениваемая нами точность выполнения граничного условия в точках бифуркации как  $\sqrt{\Lambda}$  при  $n = 1$  ( $e_k = 0,575$ ) равна  $1,17 \cdot 10^{-2}$ , расстояние от точек экватора конфигурации до центра в этом случае  $r_e = 1,0661$ , а погрешность аппроксимации в геометрическом подходе оценки погрешности выполнения граничного условия соответственно будет  $r_e - 1 = 6,61 \cdot 10^{-2}$ . В этом случае погрешность выполнения граничного условия будет приводить к погрешности в уравнениях порядка  $\sqrt{\Lambda}(r_e - 1) = 7,73 \cdot 10^{-4}$ . При  $n = 1,04$  ( $e_k = 0,756$ )  $\sqrt{\Lambda} = 2,42 \cdot 10^{-3}$ , а  $r_e = 1,00457$ ,  $\sqrt{\Lambda}(r_e - 1) = 1,11 \cdot 10^{-5}$ , что указывает на высокую точность аппроксимации поверхности  $\tilde{\rho} = 0$ , возмущенной эллипсоидальной поверхностью  $\delta D$ , для значений показателя политропы из рассматриваемого промежутка  $0,9989 < n \leq 1,0795$ .

Наш результат, доказывающий существование точки бифуркации при  $n = 1$ , на первый взгляд противоречит работе [6]. Но точка  $n = 1$  уклоняется от конца интервала  $n = 0,9989$  на  $1,1 \cdot 10^{-3}$ , и с учетом погрешности вычислений противоречие снимается.

На рис. 4, 5 приведены сечения плоскостью  $x_2 = 0$  аппроксимирующих сфероидов  $\delta D$  и найденных поверхностей  $\tilde{\rho}(x_1^2 + x_2^2, x_3^2) = 0$  для значений  $n = 1$  и  $n = 1,04$  в точках бифуркации.

Погрешность метода решения уравнения (1) при  $n = 1,04$  у нас составила  $2,53 \cdot 10^{-4}$ . Левее точки  $n = 1,04$  погрешность немного убывает, а правее возрастает, но остается такого же порядка.

С такой же степенью точности  $\sim 10^{-4}$  функция  $e_k(n)$  может быть аппроксимирована многочленом

$$e_k(n) = -190,616(n - 1,04)^4 + 81,611(n - 1,04)^3 + 20,784(n - 1,04)^2 + 5,227(n - 1,04) + 0,757. \quad (14)$$

Аналогичное представление имеет место и для  $\varepsilon_k(n)$ :

$$\varepsilon_k(n) = 21,727(n - 1,04)^4 - 12,041(n - 1,04)^3 - 4,071(n - 1,04)^2 - 0,535(n - 1,04) + 0,0282. \quad (15)$$



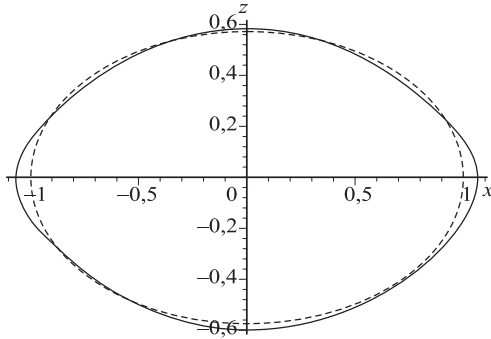


Рис. 4. Расчетная (сплошная линия) и аппроксимирующая (пунктирная линия) эллипсоидальные конфигурации при значениях  $n = 1$ ,  $e_k = 0,575$ . На рисунке  $x = x_1$ ,  $z = \frac{1}{e_k}x_3$

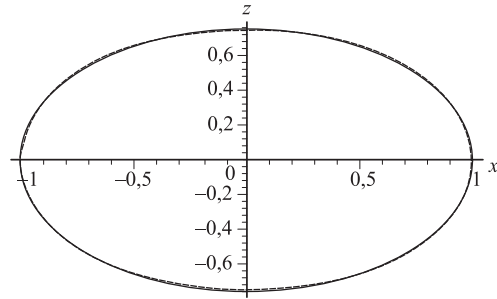


Рис. 5. Расчетная (сплошная линия) и аппроксимирующая (пунктирная линия) эллипсоидальные конфигурации при значениях  $n = 1,04$ ,  $e_k = 0,756$ . На рисунке  $x = x_1$ ,  $z = \frac{1}{e_k}x_3$

Согласно (14) функция  $e_k(n)$  монотонно возрастает от  $e_k = 0,571$  до 1 в интервале  $0,9989 < n \leq 1,0795$ . В этом интервале значений  $n$   $\varepsilon_k(n)$  монотонно убывает от  $\varepsilon_k = 0,0442$  до 0.

Этот результат очень важен для медленно вращающихся ньютоновских политроп. Для любого малого значения угловой скорости  $\omega$  найдется значение  $n$  из интервала  $0,9989 < n \leq 1,0795$ , для которого  $\varepsilon = \varepsilon_k(n)$ ,  $A(e_k, n) = 0$ . При этом  $X_k(n) = \left(\frac{\eta_m}{B(e_k, n)}\right)^{1/3}$ . График функции  $B_k(n) =$

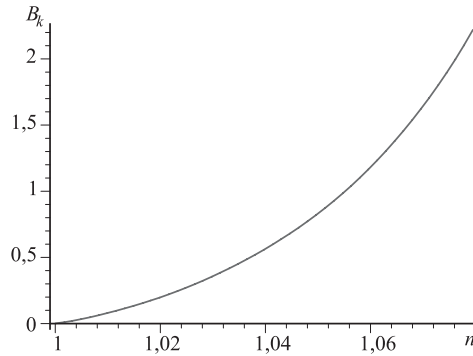


Рис. 6. Зависимость функции  $B_k$  от показателя политропы  $n$

$B(e_k, n)$  представлен на рис. 6. Функция  $B_k$  монотонно растет от  $1,1057 \cdot 10^{-3}$  ( $n = 1$ ) до  $2,2199$  ( $n = 1,0795$ ). Значение параметра асимметрии в точке бифуркации наоборот будет в этом интервале примерно на два порядка уменьшаться. Переход  $B_k(n)$  в отрицательную область значений происходит за пределами интересующего нас интервала значений  $n < 0,9989$ .

Из рис. 1 видно, что кривые  $A(e, n = \text{const})$ ,  $0,9989 < n \leq 1,0795$ , опускаются в сторону отрицательных значений с ростом показателя политропы  $n$ . Причем, если при  $n = 1$  кривая  $A(e, n)$  пересекает ось абсцисс в точке  $e_k = 0,575$ , то при  $n = 1,0795$  точка пересечения будет в  $e_k = 1$ . Это соответствует  $\varepsilon_k = 0$ , т. е. отсутствию вращения в этой точке. В этой же точке  $X = \left(\frac{\eta_m}{B(e = 1, n = 1,0795)}\right)^{1/3}$ , т. е. так же, как и вблизи других точек бифуркации  $e_k$ , параметр асимметрии  $X$  будет иметь аномально большие значения с учетом малости  $\eta_m \sim 10^{-9} - 10^{-12}$ .

При  $n > n_k = 1,0795$  ни для каких значений  $e$   $A(e, n)$  в нуль не обращается, оно уже для  $e = 1$  отрицательно, и более того, с уменьшением  $e$  будет уменьшаться, удаляясь все больше от точки бифуркации  $A(e, n) = 0$ .

В области значений  $e$ , близких к единице, имеет место следующее аналитическое представление  $A(e, n)$ :

$$A(e, n) = 0,1872(e - 1) + 1,3560(1,0795 - n) = -1,4872\varepsilon + 1,3560(1,0795 - n),$$

которое удобно использовать при описании эволюции конфигурации. Тогда с высокой степенью точности  $\sim 2 \cdot 10^{-3}$  из (116) вблизи точки бифуркации имеет место следующее представление параметра асимметрии  $X$ :

$$X = X_k \left( 1 + 0,2233 \frac{\varepsilon - \varepsilon_k}{X_k^2} \right), \quad \varepsilon_k = \varepsilon(e_k).$$

#### 4. СЛУЧАЙ МЕДЛЕННОГО ВРАЩЕНИЯ

Остановимся более подробно на исследовании ньютоновской политропы в отсутствие магнитных натяжений ( $\eta_m = 0$ ). Уравнение (11) будет в этом случае иметь три решения в

интервале  $0,9989 < n \leq 1,0795$ ,  $X = 0$  и  $X = \pm \sqrt{-\frac{A(e, n)}{B(e_k, n)}}$ . Наиболее интересной для

нас является точка  $e_k = 1$  ( $\varepsilon = 0$ ), в которой вращение отсутствует или очень медленное. В этой точке,  $|n - 1,0795| \ll 1$ , уравнение для параметра  $X$  будет иметь три решения  $X = 0$  и  $X = \pm 0,7816 \sqrt{n - 1,0795}$ .

Чтобы ответить на вопрос, какое решение будет физически реализовано, оценим полную энергию конфигурации  $E$  при фиксированной массе  $m = m_0$  в зависимости от значений параметра  $X$ . Вместо  $E$  удобно вычислять безразмерную величину  $\tilde{E}$ :

$$\tilde{E} = \frac{E}{-E_{\text{sp}}e} = \frac{15E}{16\pi^2 G \rho_0^2 a_1^5 e} = \varepsilon \int_D \tilde{\rho}(x_1^2 + x_2^2) d^3x + \frac{1}{2} \int_D \tilde{\rho} \Phi d^3x + nK_0 \int_D \tilde{\rho}^{1+\frac{1}{n}} d^3x, \quad (16)$$

$$m_0 = \rho_0 a_1^3 e \int_D \tilde{\rho} d^3x, \quad d^3x = dx_1 dx_2 dx_3.$$

Заметим, что  $E_{\text{sp}} = -\frac{16\pi^2}{15} G \rho_0^2 a_1^5$  — гравитационная энергия однородной сферы радиусом  $a_1$  и плотностью  $\rho_0$ . Первый член в (16) — энергия вращения, второй — гравитационная энергия, третий — внутренняя энергия.

При  $e = 1$ ,  $\varepsilon = 0$  из (16) имеем

$$\tilde{E}(e = 1, n) = \frac{1}{2} \int_D \tilde{\rho} \Phi d^3x + nK_0 \int_D \tilde{\rho}^{1+\frac{1}{n}} d^3x, \quad (17)$$

$$m_0 = \rho_0 a_1^3 \int_D \tilde{\rho} d^3x.$$

Составленная нами программа по вычислению  $\tilde{E}(e = 1, n = 1,0795)$  дает следующий результат:

$$\tilde{E}(e = 1, n = 1,0795) = -0,0642(1 - 4,879X^2). \quad (18)$$

Отсюда следует, что решение с  $X = 0$  будет иметь меньшую энергию и, следовательно, являться устойчивым по сравнению с асимметричным решением  $X \neq 0$ , у которого энергия выше при той же массе.

При меньших значениях  $n$  и  $e$  вопрос об энергии, а следовательно, устойчивости вращающейся политропы вблизи точек бифуркации при  $X = 0$  и  $X \neq 0$  остается открытым и требует отдельного рассмотрения.

Проведенное нами изучение вопроса о точках бифуркации вращающихся политроп показало, что точки бифуркации медленно вращающихся политроп  $1 - e \ll 1$  возможны только при значениях показателей политроп, меньших и близких к значению  $n_k = 1,0795$ . Для намагниченных политроп в точках бифуркации параметр асимметрии  $X$  будет порядка  $\eta_m^{1/3}$ , что составляет  $10^{-3} - 10^{-4}$  при  $\eta_m \sim 10^{-9} - 10^{-12}$  и на шесть-восемь порядков превышает его значение порядка  $\eta_m$  вдали от точек бифуркации.

За счет только одного вращения аксиальная асимметрия в распределении плотности очень медленно вращающихся политроп не может возникнуть, несмотря на то, что точки бифуркации имеют место при определенных значениях показателя политропы  $n$ .

Отметим, что для всех пульсаров с периодом  $T \geq 33$  мс  $e_k$  принадлежит узкому интервалу значений  $1 < e_k < 0,9996$  для значений  $n$  тоже из очень узкого интервала  $1,0795 > n > 1,0794$ .

При этом роль магнитных натяжений для значения параметра асимметрии  $X$  будет определяющей, так как при  $\eta_m = 0$  в вышеуказанном интервале значений  $e$  и  $n$  решение с  $X \neq 0$  будет неустойчиво по отношению к переходу в симметричное состояние  $X = 0$ .

На конце рассматриваемого интервала  $n = 1$  нужно уже быстрое вращение, приводящее к существенной деформации конфигурации, для достижения точки бифуркации. В этом случае  $e_k = 0,575$ ,  $\varepsilon_k = 0,0439$  и  $T_k = 1,637 \cdot 10^{-3}$  с.

Как нами было отмечено, из реалистических уравнений состояния наиболее близко к политропе со значением показателя 1,0795 уравнение состояния Рейда.

Проведенное исследование указывает на возможность интенсивного гравитационного излучения и от достаточно медленных пульсаров, но с сильным внутренним магнитным полем, если уравнение состояния их ядерного вещества будет близко к политропе с показателем  $n = n_k = 1,0795$ .

Чтобы понять физические причины возникновения точек бифуркации в отсутствие вращения  $\varepsilon = 0$ ,  $e = 1$ , рассмотрим уравнение для параметра асимметрии  $X$  в центральной области политропы  $x_1^2 + x_2^2 + x_3^2 \ll 1$ , в которой доминируют квадратичные по координатам члены. В линейном по  $X$  приближении оно будет иметь вид

$$A(e = 1, n)X = \left( \left( 1 + \frac{1}{n} \right) K_0(n) - \frac{1}{5} \right) X = \eta_m. \quad (19)$$

Из (19) мы видим, что вклады в левую часть этого уравнения от тяготения и давления имеют разные знаки. Как только они будут равны по абсолютной величине, то будет иметь место точка бифуркации. При этом вклад тяготения от  $n$  не зависит.

Если уравнение состояния традиционно считается заданным ( $n = \text{const}$ ), а точки бифуркации ищутся по параметрам  $e$  и  $\varepsilon$ , то в (19) у нас  $e = \text{const} = 1$ , а показатель

политропы изменяется. Легко заметить, что при малых значениях  $n$  вклад давления в (1) будет доминировать, так как  $K_0(n=0) = 1/3$ .

При  $n = 1,5$   $K_0(n=1,5) = 0,0701$  и  $(1 + 1/n)K_0(n) = 0,1168$ , что меньше  $1/5$ . Следовательно, точка бифуркации  $e = 1$  по  $n$  удовлетворяет неравенству  $n < 1,5$ . Численные расчеты дают  $K_0 = \frac{1}{5} \frac{n}{1+n}$  в точке  $n = 1,014$ . Полученное значение достаточно близко к  $n = 1,0795$ , но говорит о том, что предположение Джинса о доминировании квадратичных членов в уравнениях, определяющих асимметричную часть конфигурации, не выполняется достаточно хорошо, так как при учете более высоких степеней (до шестой включительно) существенно различие в критическом значении показателя политропы. Оно составляет достаточно заметную величину  $0,065$ , т. е. величину порядка 6–7 %.

### ЗАКЛЮЧЕНИЕ

Проведенное нами исследование с использованием принципиально новых символьно-численных методов решения уравнения (1) доказало существование точек бифуркации вращающихся политроп в новом диапазоне значений их показателя  $0,9989 < n \leq 1,0795$ . Возникает, следовательно, вопрос о более тщательном изучении этой задачи для ранее исследованной области значений  $n < 0,808$ . Мы рассмотрели также и эту задачу. Результаты получились следующие: критерий (13) для точек бифуркации вращающихся политроп выполняется для интервалов значений  $n$  наряду с рассмотренными в этой работе  $0 \leq n < 0,1161$  и  $0,5791 < n < 0,8012$ .

Правая граница второго интервала очень близка к результатам Джеймса [6]  $n_k = 0,808$ . Сравнивая значения  $\varepsilon_k(n = 0,8012) = 0,0522$  нашей работы и  $\varepsilon_k(n = 0,808) = 0,0528$  работы [6], имеем очень хорошее согласие результатов.

Если  $0,1161 < n < 0,5791$  или  $0,8012 < n < 0,9989$ , то в точках бифуркации  $A(e, n) = 0$ ,  $g_e < 0$ , и, следовательно, вблизи экватора конфигурации уравнение гидростатического равновесия (1) не выполняется. Нетривиальная зависимость положения точек бифуркации от показателя политропы  $n$  очевидна и связана с сильной нелинейностью уравнения (1) по параметру  $n$ .

В случае невращающихся намагниченных политроп подробно исследован вопрос их устойчивости для различных значений параметра асимметрии  $X$ .

Подробное рассмотрение полученных в работе результатов для астрофизических приложений, в частности, для исследования гравитационного излучения пульсаров и его влияния на эволюцию периода будет дано в последующих наших работах.

Авторы искренне благодарны А. Н. Сисакяну за поддержку исследований вращающихся сверхплотных гравитирующих конфигураций, Г. С. Бисноватому-Когану, обсуждение с которым вопроса о точках бифуркации вращающихся ньютоновских политроп послужило отправной точкой проведенного нами тщательного исследования этого вопроса.

### СПИСОК ЛИТЕРАТУРЫ

1. *Апель П. Э.* Фигуры равновесия вращающейся однородной жидкости: Пер. с фр. Л., 1936. С. 376.
2. *Чандрасекар С.* Эллипсоидальные фигуры равновесия. М.: Мир, 1982;  
*Chandrasekhar S.* Ellipsoidal Figures of Equilibrium. New Haven: Yale Univ. Press, 1969.

3. *Тассуль Ж.Л.* Теория вращающихся звезд. М.: Мир, 1982. 472 с.;  
*Tassoul J. L.* Theory of Rotating Stars. Princeton: Princeton Univ. Press, 1978.
4. *Tsvetkov V. P.* Gravitational Radiation of Rapidly Rotating Drop of Homogeneous Magnetized Gravitating Liquid near Bifurcation Point // *Phys. Lett. A.* 1984. V.105. P.34–35.
5. *Jeans J. H.* Problems of Cosmogony and Stellar Dynamics. Cambridge Univ. Press, 1919.
6. *James R. A.* The Structure and Stability of Rotating Gas Masses // *Astrophys. J.* 1964. V. 140. P. 552.
7. *Brady P. R. et al.* Searching for Periodic Sources with LIGO // *Phys. Rev. D.* V. 57. P. 2101–2116.
8. *Беспалько Е.В. и др.* Гравитирующая быстро вращающаяся сверхплотная конфигурация с реалистическими уравнениями состояния // *Мат. моделирование.* 2006. Т. 118, № 3. С. 103–119.
9. *Фок В.А.* Теория пространства, времени и тяготения. М.: Гос. изд-во физ.-мат. лит., 1961.

Получено 9 августа 2007 г.